

## 論文

UDC 669.046.545.2 : 669.046.581 : 669.891 : 546.41'226

## 硫酸カルシウムによる炭素飽和溶鉄の脱りん\*

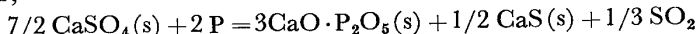
井上亮\*\*・水渡英昭\*\*\*

## On the Dephosphorization of Carbon-Saturated Iron by Calcium Sulfate Flux

Ryo INOUE and Hideaki SUITO

## Synopsis:

The effect of temperature (1 250–1 450°C), silicon and manganese in carbon-saturated iron (0.1% P, 0.05% S) on the dephosphorization was studied by using the flux of the  $\text{CaSO}_4\text{-CaCO}_3$  system. It was found that  $\text{CaSO}_4$ , although it is in solid state, has the strong dephosphorizing power. The following dephosphorization reaction was derived from the results of EPMA analysis for the dephosphorized reaction products;



No effect of the oxidation of silicon on the degree of the dephosphorization and no reversion of phosphorus and sulfur were observed, but the remarkable sulfur increase in metal was found as a result of the reactions of  $\text{CaSO}_4$  with carbon, phosphorus and silicon. To use this flux for the dephosphorization of hot metal, all efforts were made to prevent such sulfur absorption by adding  $\text{CaF}_2$ ,  $\text{Na}_2\text{CO}_3$  and  $\text{CaC}_2$ .

## 1. 緒言

著者ら<sup>1,2)</sup>は  $\text{Na}_2\text{CO}_3\text{-Na}_2\text{SO}_4$  系フランクスによる炭素飽和溶鉄の脱りん、脱硫の同時反応について研究を行つた。その結果、ソーダ系フランクス ( $\text{Na}_2\text{CO}_3$ ,  $\text{Na}_2\text{CO}_3\text{-Na}_2\text{SO}_4$ ,  $\text{Na}_2\text{CO}_3\text{-Fe}_2\text{O}_3$  系) の特徴として脱りん脱硫反応は同時に起きるが、復りん、復硫反応も生じることを明らかにした。またソーダ系フランクスは高温になるほど、溶鉄中炭素と激しく反応し、Na の気化損失が著しくなる。その結果、脱りん脱硫率が低下する欠点を有することがわかつた。一方、脱けい後の溶銑の脱りんにおいては、著しい気化脱りんが生じることにより、むしろ Na, P を気化して回収し再利用できることを見出した。

本研究では固体フランクスに注目し、高温まで使用できる脱りんフランクスとして、強力な酸化力をもつ  $\text{CaSO}_4$  を主体としたライム系フランクスを用いて炭素飽和溶鉄の脱りん反応を研究し、その反応に及ぼす処理温度、Si, Mn, Cr の影響および C の挙動について調べた。さらに  $\text{CaSO}_4$  による脱りん反応機構について考察し、硫黄吸収の原因およびその防止法についても検討した。

## 2. 実験方法

炭素飽和溶鉄（初期りん濃度 0.1%，初期硫黄濃度 0.05%）430 g にフランクス 40 g を 1 min ごとに 4 g ずつ添加した。フランクスは主に  $\text{CaSO}_4$  と  $\text{CaCO}_3$  を重量比 1 で混合し、円柱状に加圧成型した。 $\text{CaSO}_4$  としては  $\text{CaSO}_4\cdot2\text{H}_2\text{O}$  を用い、これを  $\text{CaSO}_4$  に換算してその重量とした。実験温度は 1 250~1 450°C を選んだ。実験装置、実験方法、化学分析法は別報<sup>1,2)</sup>で述べたと同じであるので省略する。 $\text{CaSO}_4\cdot2\text{H}_2\text{O}$ ,  $\text{CaCO}_3$ ,  $\text{CaF}_2$ ,  $\text{Fe}_2\text{O}_3$ ,  $\text{SiO}_2$ ,  $\text{Na}_2\text{CO}_3$ ,  $\text{Na}_2\text{SO}_4$  は特級試薬を用いた。 $\text{CaC}_2$  の純度は約 70% である。 $\text{CaSO}_4\text{-CaCO}_3$  系フランクスはソーダ系フランクスの場合<sup>2)</sup> と異なり復りんしないので、短時間でフランクスを添加する必要はない。しかし、一度に全量を添加すると溶鉄中の炭素との反応により脱りん反応の効率が悪くなる。したがつて本実験では上記の様なフランクスの添加方法を選んだ。

## 3. 実験結果および考察

## 3.1 処理温度の影響

 $\text{CaSO}_4/\text{CaCO}_3$  (重量比 1) フランクスを用いての脱

\* 昭和 54 年 4 月本会講演大会にて発表 昭和 54 年 4 月 3 日受付 (Received April 3, 1979)

\*\* 東北大学選鉱製錬研究所 (Research Institute of Mineral Dressing and Metallurgy, Tohoku University)

\*\*\* 東北大学選鉱製錬研究所 Ph. D (Research Institute of Mineral Dressing and Metallurgy, Tohoku University, 2-1-1 Katahira Sendai 980)

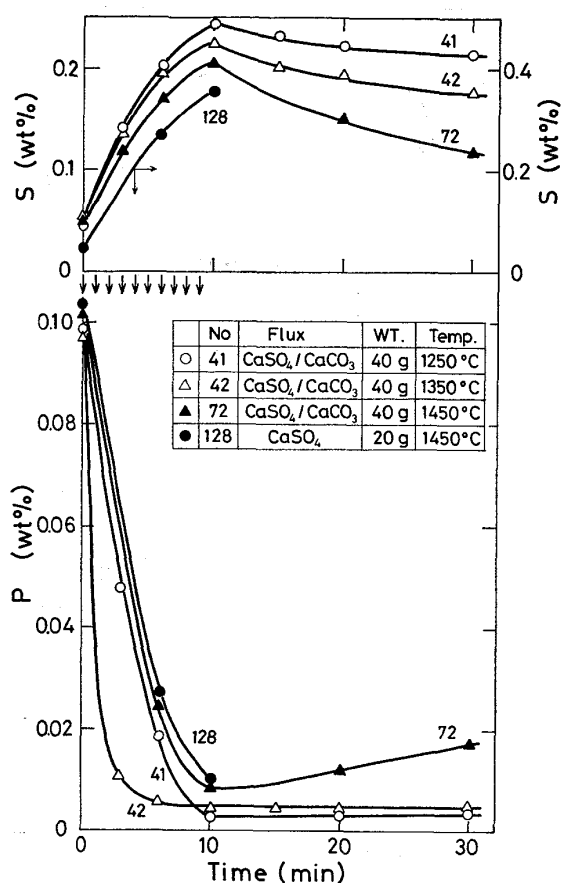


Fig. 1. Variation of P and S in metal with time—Effect of temperature.

りん、脱硫に及ぼす処理温度の影響を調べた。その結果を Fig. 1 に示す(図中矢印はフラックス添加時期を表す)。実験温度は 1250, 1350 および 1450°C である。脱りん速度、脱りん率は 1250°C(No. 41)よりも 1350°C(No. 42)のほうがよいが、1450°C(No. 72)では逆に劣っている。また 1250°C(No. 41), 1350°C(No. 42)ではまったく復りんしないが、1450°C(No. 72)ではわずかに復りんしている。復りんがほとんど起ららないのがソーダ系フラックスと異なるライム系フラックスの大きな特徴である。 $\text{CaSO}_4$ による脱りん反応は高温ほどよく起こるが 1450°C で劣る理由はフラックス添加後に復りんがあることおよびフラックスが高温ほど焼結しやすく反応率が低下することによると思われる。一方、フラックス添加期間中に著しい硫黄吸収が起こっている。この硫黄吸収は高温ほど少なく、また、フラックス添加終了後には、高温ほどよく脱硫されている。1450°C で  $\text{CaSO}_4$ のみのフラックス 20 g を 1 min ごとに 2 g ずつ 10 回添加した場合も同程度脱りんされるが、 $\text{CaSO}_4$ の強力な酸化力によって生成した酸化鉄のためにフラックスが液状となり、硫黄吸収が  $\text{CaSO}_4/\text{CaCO}_3$  フラックスの場合より多くなる。 $\text{CaSO}_4$  20 g に対して

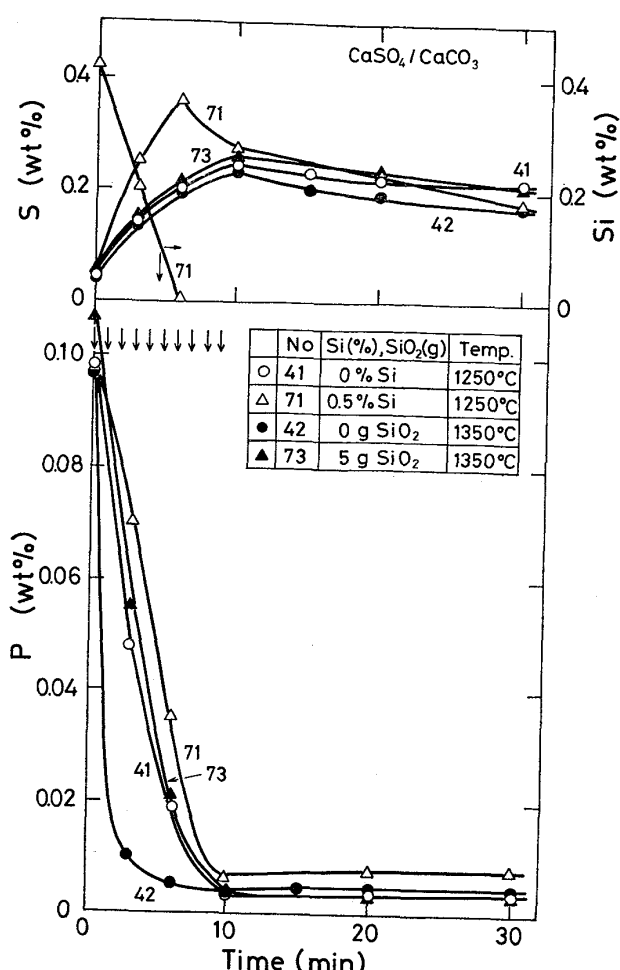


Fig. 2. Variation of P and S in metal with time—Effect of Si and  $\text{SiO}_2$ .

$\text{CaCO}_3$ を 20 g 加えることにより、1450°C という高温においてもフラックスを固体にでき、また硫黄吸収を抑え、脱硫反応にも作用すると思われる。

### 3.2 シリコンおよびシリカの影響

$\text{CaSO}_4/\text{CaCO}_3$  フラックスの脱りん、脱硫反応に及ぼす溶鉄中の Si の影響を 1250°C について調べた結果を Fig. 2 に示す。初期シリコン濃度 0.5%(No. 71)では、Siがない場合(No. 41)に比較して、脱りん速度は若干低くなるものの、脱りん率はほとんど同じである。これは脱けいと脱りんに対して十分な  $\text{CaSO}_4$  が存在することおよび処理後のスラグが固体であることによると考えられる。しかし、Fig. 2 に示すように  $\text{CaSO}_4$  が Si により還元されて  $\text{SO}_2$  を発生するために硫黄吸収は著しくなる。Si は 6 min でほとんどメタル中には認められないが、それ以後はフラックス添加中にもかかわらず硫黄吸収は起こらずに脱硫が始まっていることがわかる。脱硫速度はフラックスが固体であるため極めて遅い。

脱けい後の  $\text{SiO}_2$  が排滓されずにスラグとして存在する場合を考え、 $\text{CaSO}_4/\text{CaCO}_3$  フラックス 40 g に  $\text{SiO}_2$

5 g をあらかじめ混合したフラックス (No. 73) を用いて、1350°CにおけるSiO<sub>2</sub>の影響を調べた。その結果をFig. 2に示す。SiO<sub>2</sub>を混合しないフラックスを用いた場合 (No. 42) と比較して、脱りん速度はやや劣るもの脱りん率はほぼ等しい。実験後は両スラグとも固体であつた。また、フラックス添加期間中の硫黄吸収およびフラックス添加終了後の脱硫とも同様の挙動を示している。Si, SiO<sub>2</sub>の脱りん反応に及ぼす影響がないのが、ソーダ系フラックスの結果<sup>2)</sup>との大きな相違である。

### 3.3 マンガンおよびクロムの影響

溶鉄中のMnおよびCrがCaSO<sub>4</sub>/CaCO<sub>3</sub>フラックスの脱りん、脱硫反応に及ぼす影響を調べた。その脱りん、脱硫曲線をFig. 3に、溶鉄中のMnおよびCrの濃度の経時変化をFig. 4に示す。初期マンガン濃度0.5%の場合 (No. 111), マンガン濃度はフラックス添加期間中著しく(約80%)減少するが、フラックス添加終了後わずかにもどる。これはソーダ系フラックスの結果<sup>2)</sup>と異なる点である。Mnがない場合 (No. 42) と比較して、脱りん速度は劣るが脱りん率はほとんど同じである。また硫黄吸収についてもあまり相違ない。これはCaSO<sub>4</sub>がMnの酸化のために消費されるものの、脱りんに対して十分な量が添加されていることを表している。

初期クロム濃度8%の場合 (No. 112), クロム濃度はフラックス添加期間中約9%減少するが、フラックス添加終了後はほとんどもどらない。この点もMnの場合と同様、ソーダ系フラックスを用いた場合<sup>2)</sup>と異なる点である。脱りんはわずかに起こっているにすぎない。硫黄吸収についてはCrがない場合 (No. 42) と比較してほとんど同じ挙動を示している。脱りんが起こらずに硫黄吸収が起こっていることより硫黄吸収の原因はCaSO<sub>4</sub>とPとの反応よりも溶鉄中炭素との反応が主体であると思われる。実験終了後のスラグについてEPMAによる半定量分析を行った結果、メタルとスラグとの界面近傍のスラグ側にCaCr<sub>2</sub>O<sub>4</sub>が生成しているのを認めた。したがつてCaSO<sub>4</sub>はCrの酸化に優先的に消費され、フラックスとメタルとの界面にできたCaCr<sub>2</sub>O<sub>4</sub>により脱りんが妨げられていたと思われる。

### 3.4 炭素の挙動

3.1項～3.3項では黒鉛るっぽを用い、炭素飽和条件下で実験を行つた。そこで、CaSO<sub>4</sub>/CaCO<sub>3</sub>フラックスの脱りん、脱硫反応におけるCの挙動を調べるために、あらかじめ黒鉛るっぽで溶製したFe-P-S-C<sub>sat</sub>合金430 gをMgOるっぽで溶解し、CaSO<sub>4</sub>/CaCO<sub>3</sub>フラックス40 gを添加して実験を行つた (No. 105)。そ

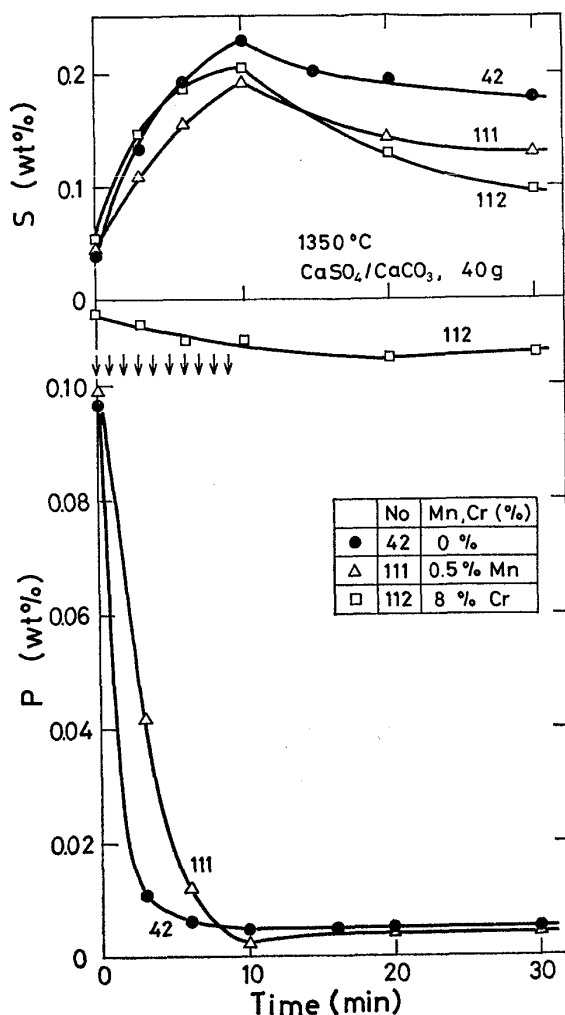


Fig. 3. Variation of P and S in metal with time—Effect of Mn and Cr.

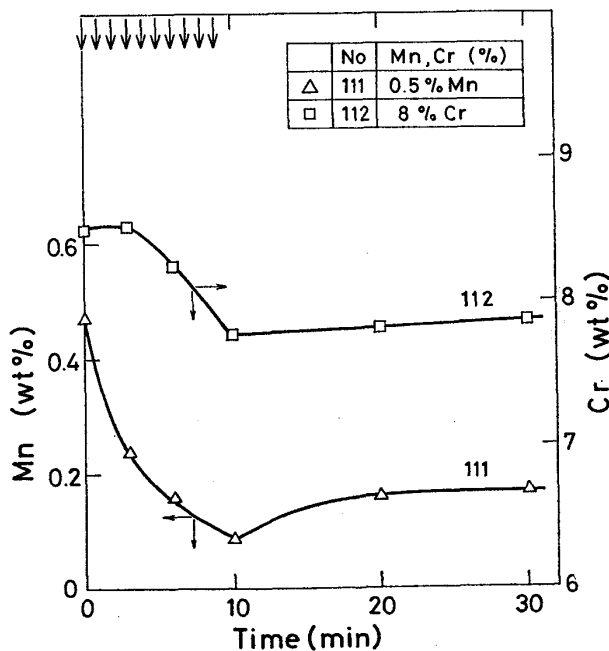


Fig. 4. Variation of Mn and Cr in metal with time.

Table 1. Chemical composition of the reaction product after dephosphorization by  $\text{CaSO}_4$  and  $\text{CaSO}_4/\text{CaCO}_3$  flux.

No.	Flux	$\text{CaO}$ (%)	$\text{P}_2\text{O}_5$ (%)	S (%)	$\text{FeO}'$ (%)	$\text{CaO}/\text{P}_2\text{O}_5$ mol ratio	$\text{CaS}$ (%)	$\text{CaO}'$ (%)	$\text{CaO}'/\text{P}_2\text{O}_5$ mol ratio
10	$\text{CaSO}_4$	$54.1 \pm 1.3$	$43.5 \pm 2.1$	1.4	1.8	3.15	3.1	51.7	3.01
12	$\text{CaSO}_4/\text{CaCO}_3$	$52.6 \pm 0.7$	$41.5 \pm 1.8$	2.3	2.3	3.21	5.2	48.6	2.96
169	$\text{CaSO}_4$	$46.0 \pm 0.8$	$52.1 \pm 0.8$	0.1	4.0	2.23	0.2	45.8	2.23

EPMA was used for determination. No. 10 and No. 12 are the results for the reaction with  $\text{Fe}-1\% \text{P}-\text{C}_{\text{sat}}$  melt at  $1250^\circ\text{C}$  and No. 169 is for the reaction with  $\text{Fe}-18\% \text{P}$  melt at  $1300^\circ\text{C}$ . Notations of  $\text{FeO}'$  and  $\text{CaO}'$  are explained in the text.

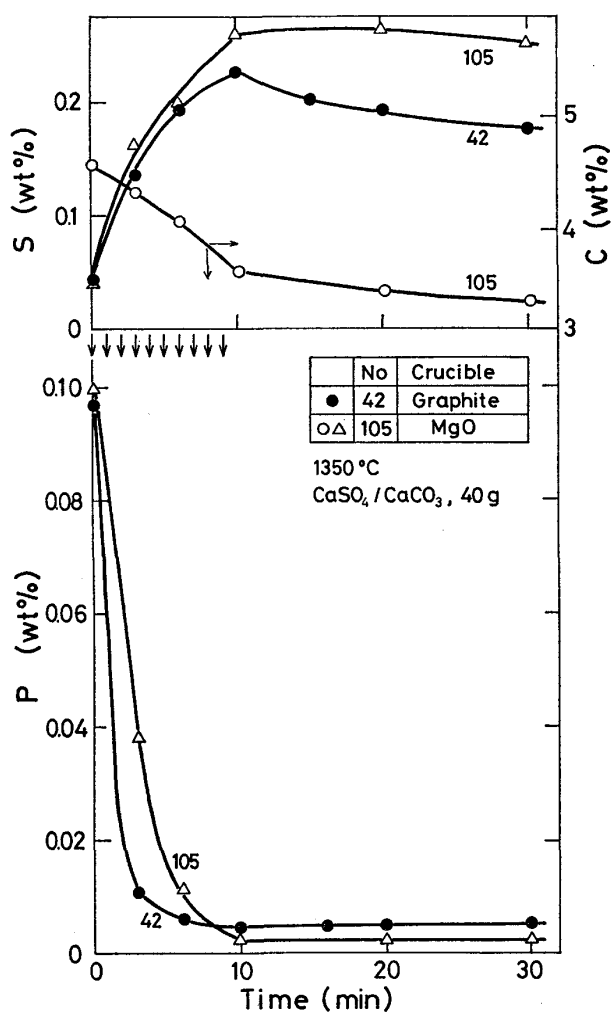


Fig. 5. Variation of P, S and C in metal with time.

の結果を Fig. 5 に示す。炭素濃度 (4.58%) はフランクス添加期間中 21% 減少し、フランクス添加終了後もわずかに減少する。黒鉛るつぼにおける実験 (No. 42) と比較して脱りん、硫黄吸収ともほぼ同様の傾向を示す。しかし、フランクス添加終了後の脱硫は起こっていない。その理由として、炭素がだいに低下していることから、固体スラグ/メタル/ガス界面での酸素分圧が黒鉛るつぼ実験の場合よりも高いためと著者らは考えている。硫黄吸収が黒鉛るつぼにおける実験 (No. 42) と

ほとんど変わらないことより、 $\text{CaSO}_4$  と黒鉛るつぼ壁との反応による硫黄吸収は無視できることがわかる。

### 3.5 脱りん反応

$\text{CaSO}_4/\text{CaCO}_3$  フランクスは脱りん処理後固体であるので脱りん生成物を調べるためにつぎのような実験を行った。温度  $1250^\circ\text{C}$  において初期りん濃度 1% の炭素飽和溶鉄 430 g に  $\text{CaSO}_4$  フランクスまたは  $\text{CaSO}_4/\text{CaCO}_3$  フランクス 30 g を添加して脱りん処理した後、採取したスラグについて EPMA により半定量を行い、脱りん生成物を同定した (No. 10, 12)。その結果を Table 1 に示す。この脱りん生成物はメタルとスラグとの界面に層状に存在し、その厚さは約  $10\sim100\mu$  であった。ここで標準試料としては  $3\text{CaO}\cdot\text{P}_2\text{O}_5$ ,  $\text{Ca}_5\text{F}(\text{PO}_4)_3$ ,  $\text{CaSiO}_3$ ,  $\text{FeS}_2$ , および  $\text{Fe}_2\text{O}_3$  を用い、Bence-Albee 法<sup>3)</sup> により補正した。鉄分については便宜上  $\text{FeO}$  として濃度を算出した。また、このりん化合物中に固溶していた硫黄を  $\text{CaS}$  とし、 $\text{CaO}$  濃度を補正した結果を同時に Table 1 に示す。Table 1 中にこれらの濃度を  $\text{FeO}'$  (%),  $\text{CaO}'$  (%) で表す。この結果、脱りん生成物は  $3\text{CaO}\cdot\text{P}_2\text{O}_5$  であることが明らかとなつた。すなわち Fe-P 合金を  $\text{CaO}$  るつぼ中で溶解した場合、 $\text{CaO}\cdot\text{P}_2\text{O}_5$  系状態図<sup>4)</sup> によれば  $\text{CaO}$  と平衡する脱りん生成物は  $4\text{CaO}\cdot\text{P}_2\text{O}_5$  であるが  $\text{CaSO}_4$  による Fe-P-C 合金の脱りん生成物は  $3\text{CaO}\cdot\text{P}_2\text{O}_5$  である。さらに C を含まない Fe-P 合金 (18% P) と  $\text{CaSO}_4$  との反応による脱りん生成物を調べる実験を  $1300^\circ\text{C}$  で  $\text{MgO}$  るつぼを用いて行つた (No. 169)。その結果を Table 1 に示す。この場合はスラグは液体となつた。これは  $\text{CaSO}_4$  のもつ強力な酸化力によって生成した酸化鉄および高りん濃度のために多量に生成した  $\text{P}_2\text{O}_5$  がスラグの融点を下げたためである。実験後凝固したスラグ中では Table 1 に示す鉱物相中に多量の P が認められた。

EPMA による半定量においては、 $3\text{CaO}\cdot\text{P}_2\text{O}_5$  相以外に  $\text{CaS}$  相が認められ、また脱りん実験中には  $\text{SO}_2$  の発生があつた。これらのことから、 $\text{CaSO}_4$  による Fe-P-C<sub>sat</sub> 合金の脱りん反応式は (1) 式となる。

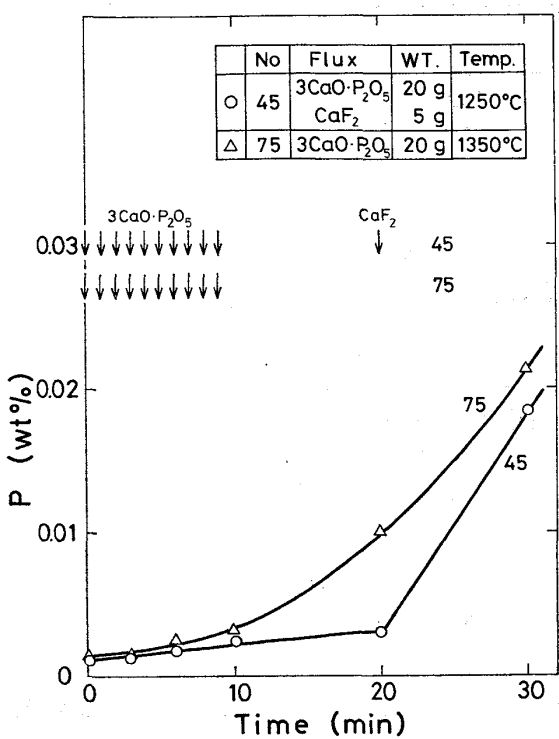
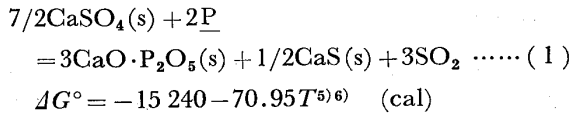


Fig. 6. Variation of P in metal for the reduction of  $3\text{CaO}\cdot\text{P}_2\text{O}_5$  with C.



### 3.6 復りん反応

3・1項のFig. 1で示したように  $\text{CaSO}_4/\text{CaCO}_3$  フラックスの場合、1250, 1350°Cでは復りんが起こっていないが、1450°Cでは復りんしていた。3・5項において脱りん生成物が  $3\text{CaO}\cdot\text{P}_2\text{O}_5$  であることを明らかにした。そこで、温度、1250°C, 1350°Cで  $3\text{CaO}\cdot\text{P}_2\text{O}_5$  20 gを炭素飽和溶鉄に添加して、 $3\text{CaO}\cdot\text{P}_2\text{O}_5$  による復りん挙動を調べる実験を行つた。その結果をFig. 6に示す。1250°C(No. 45)においては、ほとんどりん濃度は上昇しないがさらに  $\text{CaF}_2$  5gを添加してスラグを液状にすると著しくりん濃度が上昇する。1350°C(No. 75)では、りん濃度の上昇は顕著である。ここで復りん反応は(2)式によつて起こつていると考えられる。

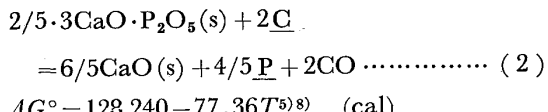


Fig. 7にCOおよび $3\text{CaO}\cdot\text{P}_2\text{O}_5(\text{s})$ の標準生成自由エネルギーと温度との関係を図示する。この(2)式において、各反応物、生成物が標準状態の時、この反応は1385°C以上で右方向に進行することがわかる。

実操業にこのライム系フラックスを用いた場合、

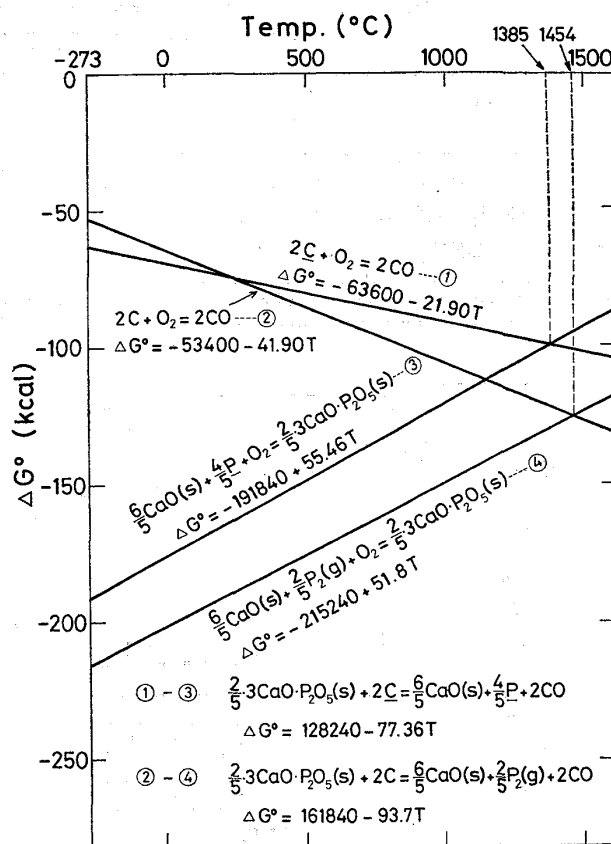
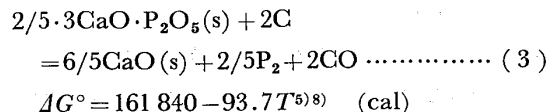


Fig. 7. Free-energies of formation of CO and  $3\text{CaO}\cdot\text{P}_2\text{O}_5(\text{s})$ .

$3\text{CaO}\cdot\text{P}_2\text{O}_5$ 相の生成量はわずかであるので、復りん反応を考える場合にはメタル-スラグ間反応界面積が重要になる。1250°C(No. 45)において、さらに  $\text{CaF}_2$ を添加することによりスラグを液状にすると、この反応界面積が著しく増大するため復りん反応が促進される。また、本実験条件下における気化脱りんの有無についてはソーダ系フラックスを用いての脱りん実験におけるような均一なスラグを得ることができなかつたため、検討を行つていない。

溶鉄が存在しない場合、脱りん生成物である  $3\text{CaO}\cdot\text{P}_2\text{O}_5$ をGと反応させると(3)式に従つて反応することになる。



ライム系フラックスによる脱りん処理後のスラグをCと反応させることにより、りん分はガスとして回収し、残つたスラグを再び脱りんのフラックスとして用いることが可能となる。

### 3.7 硫黄吸収

ライム系フラックスを用いた場合、脱りんはよく起るが、硫黄吸収が著しいことがわかつた。本項ではライ

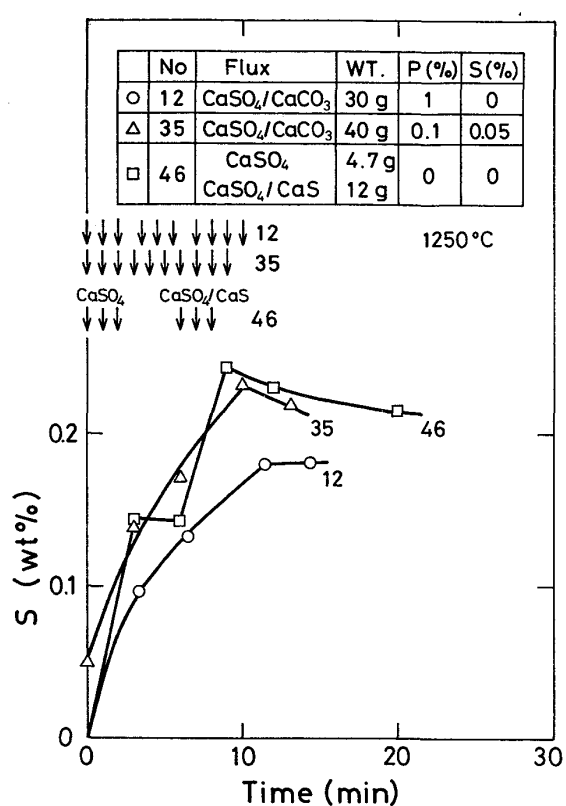
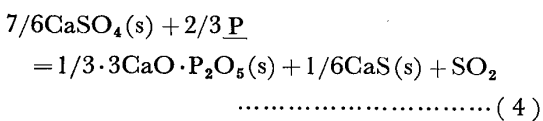


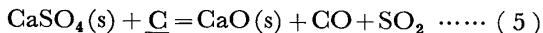
Fig. 8. Variation of S in metal with time.

ム系フラックスの硫黄吸収の原因について考察し、その防止法について検討するために行つた実験結果について述べる。

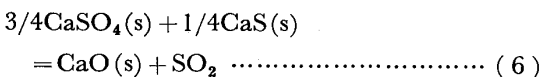
硫黄吸収の原因としてはフラックス中の  $\text{CaSO}_4$  が種々の反応に関与することにより発生する  $\text{SO}_2$  が考えられる。この  $\text{SO}_2$  1モルの発生を伴う反応式としては以下のものが考えられる。



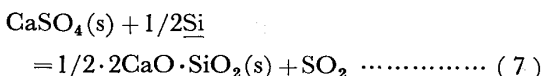
$$\Delta G^\circ = -5080 - 23.65T^{5/6} \quad (\text{cal})$$



$$\Delta G^\circ = 78520 - 67.75T^{6/5} \quad (\text{cal})$$



$$\Delta G^\circ = 43620 - 37.2T^{6/5} \quad (\text{cal})$$



$$\Delta G^\circ = -4380 - 30.01T^{6/5} \quad (\text{cal})$$

(4)～(7)式の各反応の  $\Delta G^\circ$  は  $886^\circ\text{C}$  以上でいずれも負である。 $\text{CaSO}_4$  と  $\text{C}$  および  $\text{CaS}$  との反応(5), (6)式については、TURKDOGAN ら<sup>9)</sup> が速度論的に研究を行つている。(7)式の  $\text{CaSO}_4$  と  $\text{Si}$  との反応による硫黄吸収は Fig. 2 より明らかである。そこで、 $\text{CaSO}_4$

と  $\text{P}$ ,  $\text{C}$  および生成した  $\text{CaS}$  との反応(4), (5), (6)式のうちどれが硫黄吸収の主な原因となつてゐるかを調べる実験を行つた。3・4項で述べたように、本実験条件下では、黒鉛るつぼ壁と  $\text{CaSO}_4$  との反応は無視できる。

$\text{CaSO}_4$  と  $\text{P}$  との反応(4)式について実験を行つた。温度  $1250^\circ\text{C}$  で初期りん濃度 1% の炭素飽和溶鉄に  $\text{CaSO}_4/\text{CaCO}_3$  (重量比 1) フラックス 30 g (No. 12) または初期りん濃度 0.1% 初期硫黄濃度 0.05% の炭素飽和溶鉄に同じフラックスを 40 g (No. 35) 添加して、その硫黄吸収を調べた。その結果を Fig. 8 に示す。初期硫黄濃度は異なるが硫黄吸収の傾向について、初期りん濃度による差は認められない。また  $\text{P}$  を含まない炭素飽和溶鉄に  $\text{CaSO}_4$  フラックス 4.7 g (No. 46) を添加した場合には初期りん濃度を有する場合 (No. 12, 35) よりも硫黄吸収が著しい。これは  $\text{CaSO}_4/\text{CaCO}_3$  フラックス中の  $\text{CaCO}_3$  が硫黄吸収を抑制する働きを持つことを示している。以上のことより(4)式の反応による  $\text{SO}_2$  が硫黄吸収の主な原因であるとは考えられない。このことは 3・3 項の  $\text{Cr}$  の影響で述べたように脱りんが起こらずに硫黄吸収していることからも明らかである。つぎに、 $\text{CaSO}_4$  と  $\text{CaS}$  との反応(6)式による  $\text{SO}_2$  発生が硫黄吸収の原因であるかを調べるための実験を行つた (No. 46)。Fig. 8 からわかるように、 $\text{CaSO}_4$  4.7 g 添加による硫黄吸収と  $\text{CaSO}_4/\text{CaS}$  (重量比 1) 12 g 添加による硫黄吸収は後者のほうが  $\text{CaSO}_4$  量が多いにもかかわらずその差は認められない。これより(6)式の反応により発生した  $\text{SO}_2$  が硫黄吸収の原因であるとはいえない。したがつて硫黄吸収の主な原因は  $\text{CaSO}_4$  と溶鉄中炭素との反応(5)式であると結論される。

この硫黄吸収を防止する実験を行つた。Fig. 1 によれば  $1350^\circ\text{C}$  (No. 42) では、 $\text{CaSO}_4/\text{CaCO}_3$  フラックスを 20 g 添加した段階ですでに十分な脱りんが起つてゐる。したがつて  $\text{CaSO}_4/\text{CaCO}_3$  添加量つまり  $\text{CaSO}_4$  添加量を極力減少してやることにより硫黄吸収量を低く抑えることができる。しかし、ここでは  $\text{CaSO}_4$  量を 20 g としての硫黄吸収防止策について検討した。

ライム系フラックスに  $\text{CaF}_2$  を加えることによりフラックスを液状にして硫黄吸収を抑えることを試みた。実験は  $\text{CaSO}_4/\text{CaCO}_3$  (重量比 1) フラックス 40 g に  $\text{CaF}_2$  5 g をあらかじめ混合し、これを温度  $1250^\circ\text{C}$  (No. 44),  $1350^\circ\text{C}$  (No. 52) で添加して行つた。その結果を Fig. 9 に示す。フラックスが液状であるため、硫黄吸収は著しく低減し脱硫も促進されている。しかし、Fig. 6 において  $3\text{CaO} \cdot \text{P}_2\text{O}_5$  に  $\text{CaF}_2$  を添加した (No. 45) 場合にみられたようにスラグが液状であるための著しい復りん

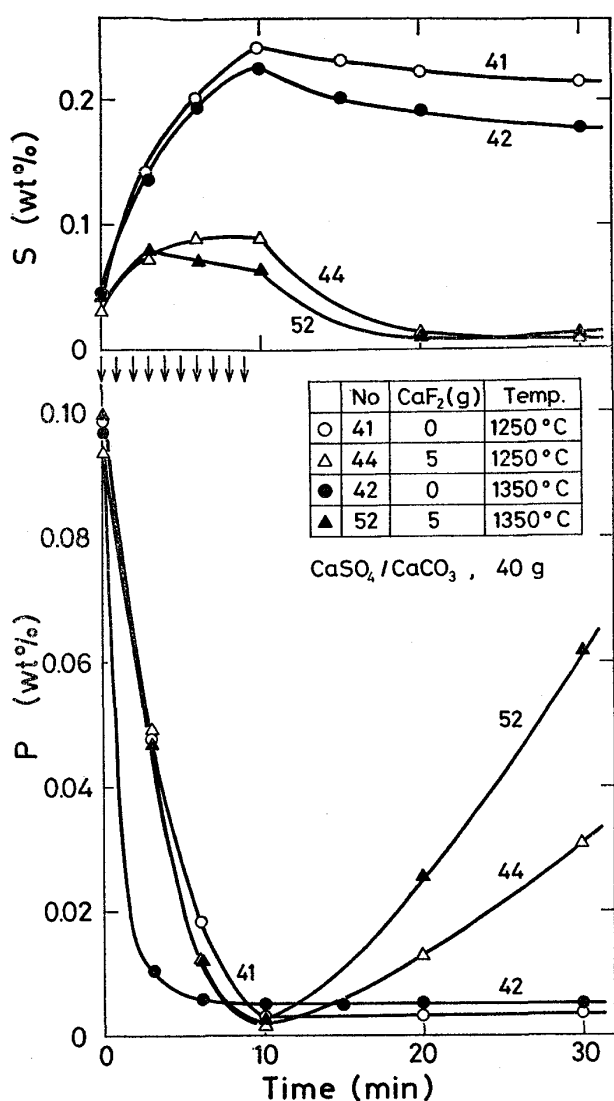


Fig. 9. Variation of P and S in metal with time—Effect of CaF<sub>2</sub>.

が起こっている。CaF<sub>2</sub> 添加により脱硫はよくなるが、この著しい復りんのために CaF<sub>2</sub> を添加した No. 52 の脱りん速度は No. 42 より遅くなつたと考えられる。

CaCO<sub>3</sub> の代りに脱りん、脱硫に効果のある Na<sub>2</sub>CO<sub>3</sub> を CaSO<sub>4</sub> と混合したフランクスを用いた実験結果を Fig. 10 に示す。CaSO<sub>4</sub> 20 g に対して Na<sub>2</sub>CO<sub>3</sub> を 10 g (No. 53) または 5 g (No. 55, 56) を混合し、温度 1250 °C, 1350 °C で実験を行つた。硫黄吸收はかなり抑えられ脱硫もよく起るがスラグが液状であるため著しく復りんしている。

CaSO<sub>4</sub> の代りに同様に強力な酸化力をもつ Na<sub>2</sub>SO<sub>4</sub> を用い、CaCO<sub>3</sub> と混合したフランクスによつて実験を行つた。Na<sub>2</sub>SO<sub>4</sub> 20 g に対して CaCO<sub>3</sub> を 5 g (No. 81) または 10 g (No. 82) を混合し、実験温度は 1350 °C である。その結果を Fig. 11 に示す。この Na<sub>2</sub>SO<sub>4</sub>-CaCO<sub>3</sub> 系フランクスの場合には別報<sup>2)</sup> で示したソーダ

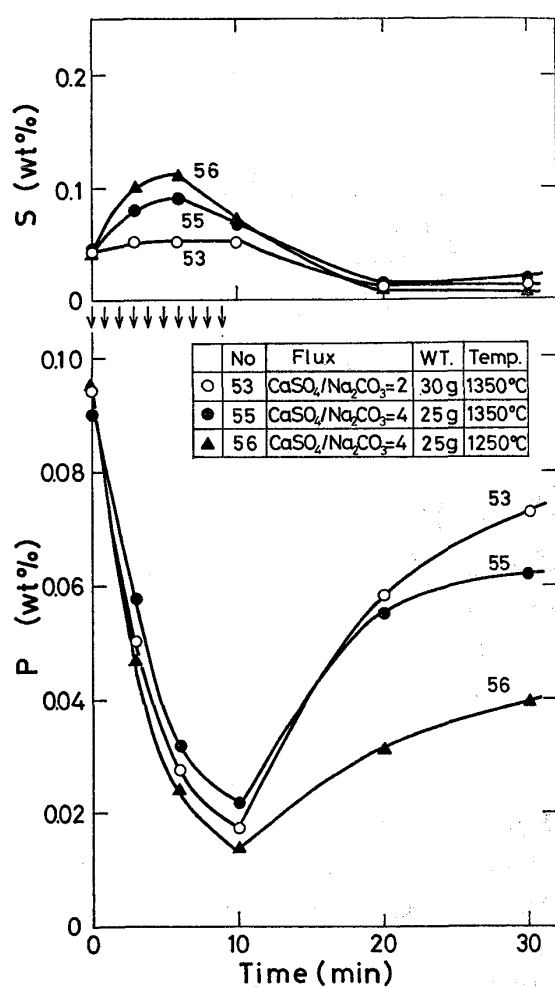


Fig. 10. Variation of P and S in metal with time—Effect of Na<sub>2</sub>CO<sub>3</sub>.

系フランクスによる脱りん、脱硫の挙動と同様に、フランクス添加期間中には脱りん、脱硫が起る。フランクス添加終了後にはまず復りんが起り、りん濃度が一定値に近づいてから復流が始まつてある。脱りん速度、脱りん率は CaSO<sub>4</sub>-CaCO<sub>3</sub> 系フランクスと比較すると劣る。

CaSO<sub>4</sub>-CaCO<sub>3</sub> 系フランクスについて、このフランクスを液状にする添加物 (CaF<sub>2</sub>, Na<sub>2</sub>CO<sub>3</sub>, Na<sub>2</sub>SO<sub>4</sub>) を加えることにより、硫黄吸收が抑えられ脱硫も促進するが著しく復りんする。この著しい復りんを防止する意味で、フランクスを固体にすることが必要となる。そこで脱硫剤として、CaC<sub>2</sub> を用いて実験を行つた。

あらかじめ黒鉛るつぼで溶製した Fe-P-S-C<sub>sat</sub> 合金を MgO るつぼ中で溶解し、CaSO<sub>4</sub> 20 g を 1 min ごとに 4 g ずつ 5 回添加した後、CaC<sub>2</sub> 8 g を 1 min ごとに 2 g ずつ 4 回添加した (No. 124)。温度は 1450 °C を選んだ。その結果を Fig. 12 に示す。3・1 項でも述べたように CaSO<sub>4</sub> を 1450 °C の高温で添加すると、その

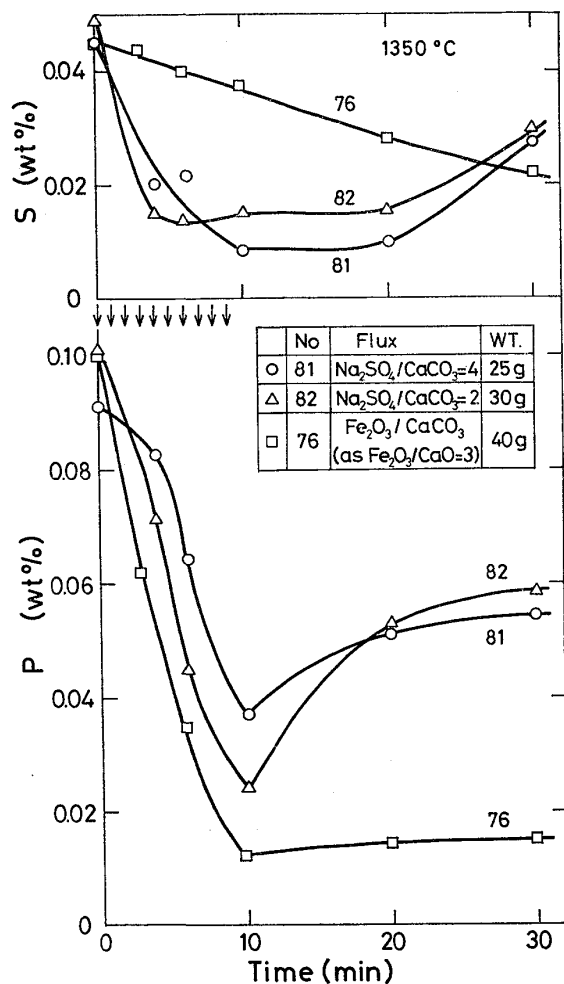


Fig. 11. Variation of P and S in metal with time—Effect of  $\text{Na}_2\text{SO}_4$  and  $\text{Fe}_2\text{O}_3$ .

強力な酸化力により鉄酸化物が生じ、添加後のフラックスは液状となる。その結果、硫黄吸収が著しくなつてしまふ。しかし、 $\text{CaSO}_4$  と P および C との反応により、脱りん生成物、 $\text{CaS}$  および  $\text{CaO}$  が生成され、また時間とともに鉄酸化物が還元されてフラックスは固体となるので、 $\text{CaC}_2$  を添加することにより脱硫が進行し、また復りんも抑えられる。

そこで添加後のフラックスを固体状態に保つために、 $\text{CaSO}_4$  20 g に  $\text{CaCO}_3$  20 g を混合したフラックスを用いて同様の実験を行つた(No. 126)。その結果を Fig. 12 に同時に示す。フラックスが固体であるため硫黄吸収は  $\text{CaSO}_4$  のみのフラックス (No. 124) と比較して低くなつてゐる。 $\text{CaSO}_4$  に  $\text{CaCO}_3$  を加える目的はフラックスの液状化を防ぐことが主であり、脱硫作用への寄与はわずかであると考える。

$\text{CaSO}_4$  に  $\text{CaC}_2$  をあらかじめ混合したフラックスを用いた場合には、 $\text{CaSO}_4$  が  $\text{CaC}_2$  の酸化に消費されてしまうので、脱りん速度、脱りん率が著しく劣る。また硫黄吸収量は少なくなるものの、 $\text{CaC}_2$  が酸化されて

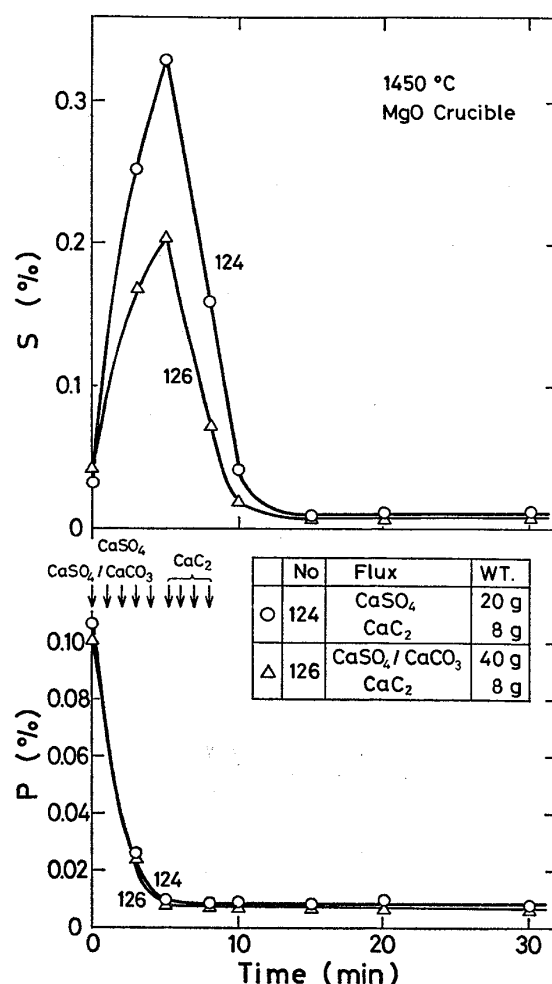


Fig. 12. Variation of P and S in metal with time—Effect of  $\text{CaC}_2$ .

$\text{CaO}$  となるため脱硫に対する効果が減少し、 $\text{CaC}_2$  を有効に利用できないことがわかつた。

#### 4. 従来のライム系フラックスおよびソーダ系フラックスとの比較

$\text{CaSO}_4\text{-CaCO}_3$  系フラックスの最も大きな特徴としてはフラックス性状が流動性のない固体であることが挙げられる。しかしフラックスが固体であるにもかかわらず、 $\text{CaSO}_4$  の強力な酸化力によりソーダ系フラックスと同程度の脱りん能力を有し、また固体であるために復りんが起こらないことが明らかとなつた。従来溶銑の予備脱りん脱硫処理においては種々のライム系フラックスが使用されている<sup>10)~15)</sup>。いずれの場合も  $\text{CaF}_2$ ,  $\text{Fe}_2\text{O}_3$ , <sup>10)~12) 15)</sup>あるいは  $\text{CaCl}_2$ <sup>14)</sup>を併用してフラックスの流動性をよくし、脱りん、脱硫の効率を高めている。また転炉スラグを用いた研究<sup>13)</sup>も報告されている。熱力学的には脱りん反応は低温ほど進行しやすいのでこれらのフラックスの場合、流動性のよい組成を選び極力低温で用

いることが必要とされる。 $\text{CaSO}_4\text{-CaCO}_3$ 系フラックスでは高温でも脱りん反応が進行し、また固体であるという点で従来の脱りんフラックスの概念とは大きく異なる。

$\text{CaSO}_4\text{-CaCO}_3$ 系フラックスの場合と同じ実験条件下における $\text{Fe}_2\text{O}_3\text{-CaCO}_3$ 系フラックスによる脱りん、脱硫実験を行つた。その結果をFig. 11に示す。 $\text{Fe}_2\text{O}_3\text{-CaCO}_3$ 系フラックスとしては $\text{Fe}_2\text{O}_3\text{-CaCO}_3$ を $\text{Fe}_2\text{O}_3\text{-CaO}$ 25%になるように秤量混合したもの用いた。この組成は実験温度1350°Cで融体である<sup>4)</sup>。このフラックスを用いた場合(No. 76)の脱りん速度および脱りん率は $\text{CaSO}_4\text{/CaCO}_3$ フラックスの場合(Fig. 1, No. 42)より明らかに劣つてゐる。またフラックスは添加直後には融体となるがその後フラックス中の $\text{Fe}_2\text{O}_3$ が溶鉄中炭素によつて還元されるので固体となりこのため復りんが起こらないと考えられる。脱硫はわずかずつ進行している。

$\text{CaSO}_4\text{-CaCO}_3$ 系フラックスの欠点はフラックス添加期間中の硫黄吸収が著しいことである。これは本研究で明らかとなつたように $\text{CaSO}_4$ と溶鉄中のCとの反応により発生した $\text{SO}_2$ ガスが原因である。しかしフラックス添加終了後にはむしろわずかに脱硫が起こりまた気化脱りんは起こらないと思われる。脱けいについて考えるソーダ系フラックスを用いた場合にはフラックスが脱けい反応に消費されるので脱りん脱硫効率は著しく低下する。 $\text{CaSO}_4\text{-CaCO}_3$ 系フラックスにおいては脱りん効率はほとんど影響を受けないが、 $\text{CaSO}_4$ とSiとの反応が硫黄吸収を助長する。今後、 $\text{CaSO}_4\text{-CaCO}_3$ 系フラックスを脱りんに用いるためにはこの硫黄吸収を抑える研究が必要である。

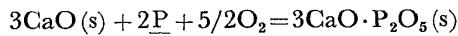
ソーダ系フラックスを用いた場合、処理後のスラグは、 $\text{Na}_2\text{O}/\text{SiO}_2$ 比にもよるが水溶性であるので、P, Naなどの回収は容易である。ライム系フラックスの中でも $\text{CaSO}_4\text{-CaCO}_3$ 系フラックスを用いた場合には処理後のスラグは固体でありPが $3\text{CaO}\cdot\text{P}_2\text{O}_5$ 相として存在することが明らかとなつた。したがつてこの処理後のスラグを炭素粉末と混合して加熱することによりPを $\text{P}_2$ ガスとして除去することが考えられる。この反応は(3)式であり3・6項においてFig. 7に示した。この反応(3)式は各反応物、生成物が標準状態の時、1454°C以上で右方向に進むが、 $P_{\text{p}_2}$ ,  $P_{\text{co}}$ を下げてやればさらに低温で反応が進行する。気化脱りん処理を行つた後のスラグと過剰炭素との混合物を酸化してやることにより、スラグ中のCaSは $\text{CaSO}_4$ となるので再び溶鉄の脱りん処理に利用することができる。

## 5. 結 言

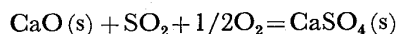
$\text{CaSO}_4\text{-CaCO}_3$ 系フラックスによる炭素飽和溶鉄の脱りん実験を行い、以下の結果を得た。

- 1) フラックス性状が固体であるにもかかわらず著しく脱りんが進行し、またフラックス添加終了後の復りんはほとんど起こらない。
- 2) フラックス添加期間中に著しい硫黄吸収があるが、高温ほどその程度は抑えられる。また、フラックス添加終了後にわずかに脱硫が進行しており、この脱硫は高温ほどよく起こる。
- 3) 初期に炭素飽和溶鉄中にSiが存在する場合、脱りん効率は影響を受けず、また脱けいされるが硫黄吸収が助長される。
- 4) 本系のフラックスによる炭素飽和溶鉄の脱りん反応生成物は $3\text{CaO}\cdot\text{P}_2\text{O}_5$ であることをEPMAによる半定量分析で確認した。

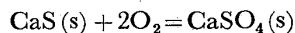
本論文中に用いた標準生成自由エネルギーを以下に記す。 $\text{SiO}_2(s)$ およびCOの生成の $\Delta G^\circ$ は文献(8)により求めた。さらに溶鉄中の希薄溶質になる場合の自由エネルギー変化は文献(7)を引用した。



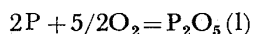
$$\Delta G^\circ = -479\,600 + 138.65T^5 \quad (\text{cal})$$



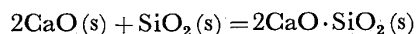
$$\Delta G^\circ = -110\,320 + 56.80T^6 \quad (\text{cal})$$



$$\Delta G^\circ = -266\,800 + 78.4T^6 \quad (\text{cal})$$



$$\Delta G^\circ = -326\,800 + 135.78T^7 \quad (\text{cal})$$



$$\Delta G^\circ = -30\,200 - 1.2T^8 \quad (\text{cal})$$

おわりに本研究について御援助頂いた東北大学選鉱製錬研究所長 大谷正康教授ならびに高橋愛和教授に心から感謝いたします。

## 文 献

- 1) 井上亮, 水渡英昭: 鉄と鋼, 65(1979), p. 1838
- 2) 水渡英昭, 石坂祥, 井上亮, 高橋愛和: 鉄と鋼, 65(1979), p. 1848
- 3) A. E. BENCE and A. L. ALBEE: *J. GEOLOGY*, 76(1968), p. 382
- 4) E. M. LEVIN, C. R. ROBBINS and H. F. McMURDIE: *Phase Diagrams for Ceramists* (1964) [The American Ceramic Society]
- 5) J. B. BOOKER: *JISI*, 174(1952), p. 61
- 6) H. A. WRIEDT and L. S. DARKEN: *Trans. Met. Soc. AIME* 254(1973), p. 1
- 7) J. F. ELLIOTT and M. GLEISER: *Thermo-*

- chemistry for Steelmaking, (1960).  
[Addison Wesley Reading, Mass.]
- 8) O. KUBASZEWSKI, E. L. EVANS and C. B.  
ALCOCK: Metallurgical Thermochemistry  
(1967). [Pergamon Press]
- 9) E. T. TURKDOGAN and J. V. VINTERS:  
Trans. Inst. Min. Met. 85(1976), C 117
- 10) V. N. ZELENOV, G. A. LOPUKHOV and A.A.  
VERTMAN: Metally, 1(1975), p. 61. p. 15
- 11) 片山裕之, 稲富 実, 梶岡博幸, 山本里見, 田中  
英夫: 鉄と鋼, 62(1976), A17
- 12) 鷹野雅志, 川見 明, 池田隆果, 岡崎 卓, 松尾  
亨: 鉄と鋼, 62(1976), A13
- 13) 佐々木寛太郎, 大喜多義道, 池田隆果, 岡崎 卓,  
松尾 亨, 川見 明: 鉄と鋼, 63(1977), p. 1801
- 14) 井上博文, 重野芳人, 徳田昌則, 大谷正康: 鉄と  
鋼, 63(1977) S 575. 64(1978), A17.  
65(1979), S 13
- 15) 山本里見, 蒔掛陽蔵, 坂口庄一, 梶岡博幸, 吉井  
正孝: 鉄と鋼, 65(1979), S 214